

奥吉野水力発電所の設計と計測について

関西電力(株) 建設部

山下正義

1. まえがき

奥吉野水力発電所は奈良県吉野郡十津川村に位置し、十津川の支流旭川に下部ダムを、旭川支流鹿戸谷川に上部ダムを設け、各貯水池間の有効落差505mを利用して、最大出力1206MWを得る純揚水発電所である。発電所は図-1によく、上部貯水池取水口下流約1500mに位置し、これより約200mの放水路によって下部池に連絡している。発電所の地山かぶりはアーチクラウン上の180mで、その寸法は幅20.1m×高さ41.6m×長さ157.8m、掘削量は約130,000m³である。図-2にその設計図を示す。

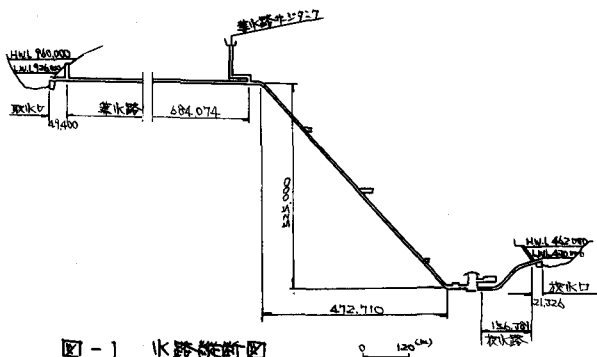


図-1 水路横断図

2. 地質

工事区域の山地は下部白亜系の砂岩、更岩互層であり、これらは地層はほぼ東西へ走行で、北へ45°~70°傾斜している。発電所の所の地質は、上部では太郎谷川更岩、中央部では上流部に砂岩互層、下部ではほとんどが砂岩互層と更岩互層である。岩質はふじわら組成で、全般的に砂岩の方が更岩に比べて岩質が低下している。発電所附近の層理の走向、傾斜は一般的にEW/40°Nで発電所長軸方向と平面的に約45°で交差し、発電所山側壁を差し目、川側壁を流れ目となる。節理および破碎帯の最大集中方向は層理方向とほぼ一致している。図-3は発電所の地質断面である。

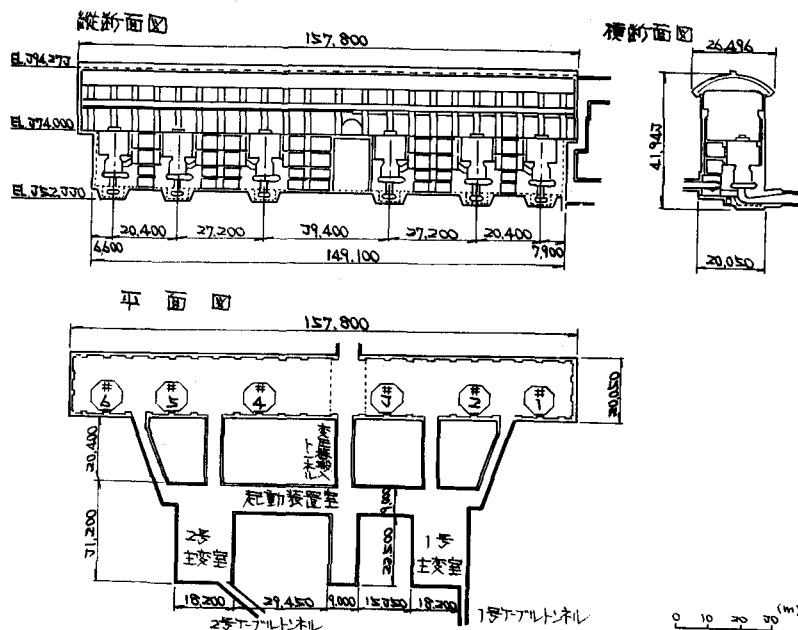


図-2 発電所設計図

3. 岩盤の物理的性質と地山の初期応力

地下発電所A 空洞設計ならびに施工計画に必要な岩盤の力学的特性および地山の初期応力を把握するため、発電所周辺試掘坑内で変形試験、せん断試験および地山の初期応力の測定を行った。試験附近の地質はB～Ch級の更岩であった。

変形試験は直径30cmの載荷板によるシャッキ法で、最大載荷量は80%cm²、加圧方向は水平、鉛直および斜めとした。クリープ試験は載荷量70%cm²および140%cm²の2ケースについて、4日間載荷を実施した。表-1にその結果を示す。

せん断試験は約60cm角、高さ約10cmの岩盤ブロックを切り出させて実施した。B級岩盤のせん断強度 $\tau_R = 8\%cm^2$ であるのにに対しCh級岩盤のそれは $\tau_R = 19\%cm^2$ であった。これは前者が層理面の走向に平行な方向で、更岩の劈開面に沿って滑りが生じ、後者が層理面の走向に直交する方向で、せん断面が全般的に破砕されたことによると思われる。

地山の初期応力の測定は坑壁法と孔内法の2種類になった。結果は表-1へとなりである。

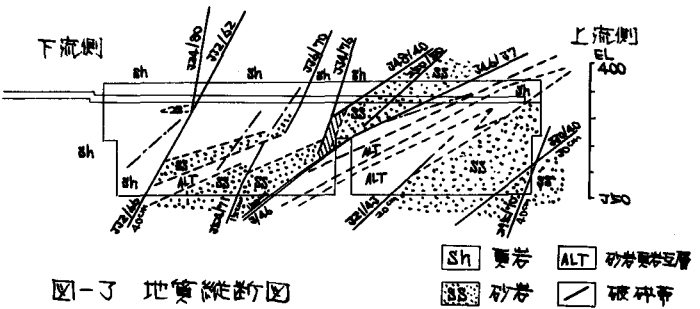


図-1 地質断面図

表-1 岩盤の物性および地山の初期応力

試験項目	測定結果
初期応力	$\sigma_{x0} = -77 \text{ kN/m}^2$ $\sigma_{y0} = -74 \text{ } \cdot$ $\sigma_{z0} = -65 \text{ } \cdot$ $\sigma_1 = -47 \text{ } \cdot$ $\sigma_2 = -92 \text{ } \cdot$ $\theta = 36^\circ$ (東北東)
せん断強度	$\tau_R = 8 \sim 19 \text{ \%cm}^2$ $(C = 17 \sim 22 \text{ \%cm}^2)$ $\phi = 45^\circ \pm 10^\circ$
変形係数	載荷時 $78 \sim 129 \text{ } 10^{-12} \text{ cm}^2$ 除荷時 $43 \sim 151 \text{ } \cdot$
クリープ係数 (載荷量140%cm ²)	載荷時 $\alpha = 0.14 \sim 0.20 \quad \beta = 0.4 \sim 1.6 (\text{1/day})$ 除荷時 $\alpha = 0.21 \sim 0.37 \quad \beta = 0.3 \sim 5.8 (\text{1/day})$

4. 空洞周辺岩盤の変形予測

発電所A設計に先立ち、F.E.M.にもとづく非線型逐次荷重法により、空洞周辺岩盤の挙動解析を実施した。計算手法については電中科院より日々報告されているので、ここでは計算条件と結果について述べる。

計算ケースと諸条件は表-2AのようにPSA導入を考慮しない異方性岩盤、異方性岩盤およびPSA導入を考慮した異方性岩盤について行なった。計算に用いた変形係数の初期値は、地山の初期応力に近い応力レベルの除荷時もしくは用いた。変形係数は応力状態によらずある緩み係数の関数であるが、最小値はケース1へ5A場合 $D_{min} = 100D_0$ とした。しかしながらこの値は掘削後の岩盤観察からしても過少すぎると思われたのでケース6、7では $D_{min} = 20,000 \text{ cm}^2$ を採用した。異方性岩盤の変形係数は、層理面方向を D_{01} 、それに直交する方向を D_{02} とし、ケース4、5では $\alpha = D_{02}/D_{01} = 0.5$ とした。ケース6、7では層理の走向と空洞周辺面とが直交しないことを考慮し $D_{02}/D_{01} = 0.6$ とした。せん断強度はケース1へ5Aに近い試験値を採用した。異方性岩盤の場合には層理面と最大圧縮応力の作用方向との交角 ω により変化する。そこで試験結果とJ.C. Jaegerへ「異方性材料の破壊特性」として、 α と ω の関係を求め、これと2次関数として与えた。

表-1は本体掘削完了時の計算結果である。ここで用いる領域とは、岩盤がかなりリーストに近く、ボアソン比の初期値から変化して0.45に達した領域と定義している。

表-2 計算ケースと諸条件

	T-S1	T-S2	T-S3	T-S4	T-S5	T-S6	T-S7
地盤	水平方向成分 σ_x (t/m^2)	-670			-640		
山側直方向成分 σ_y (t)		-700			-680		
△せん断応力成分 τ_{xy} (t)				-230			
初期	最大主応力 σ_z (t)		-920			-900	
応力	最小主応力 σ_i (t)		-450			-420	
力	σ_z の鉛直方向傾き θ ($^\circ$)				42		
岩盤変形係数 D_b ($10^4 t/m^2$)		200			$D_{b1}=156, D_{b2}=78$		$D_{b1}=130, D_{b2}=78$
盤質ボアソニ比 V_0	0.33		0.25		$V_{01}=0.25, V_{02}=0.125$		$V_{01}=0.25, V_{02}=0.15$
△せん断強度 T_{R0} (t/m^2)	80	120	190		$T_{R0,W}=90=208, T_{R0,min}=78.3$		$T_{R0,W}=90=208, T_{R0,min}=104$
初期	σ_z/T_R	0.25	0.175	0.158	0.145~0.251		0.1102~0.2326
初期	χ_0				0.3		
的値	クリープ係数 β_0 (1/day)				1.0		
初期	変形係数 D_b ($10^4 t/m^2$)				200		
的値	ボアソニ比 V_0				0.2		
初期	せん断強度 T_{R0} (t/m^2)				550		
的値	σ_z/T_R				0.64		
初期	χ_0				1.0		
的値	クリープ係数 β_0 (1/day)				0.02		

表-3 各T-S△主な計算結果

	T-S1	T-S2	T-S3	T-S4	T-S5	T-S6	T-S7
アーチコニクリート応力 (kN/cm^2)	14~29	10~22	16~36	12~36	11~36	10~61	9~61
(mm) 岩盤の水平変位	川側 60~100 山側 15~30	0~8 8~14	0~5 7~13	0~22 9~25	0~28 18~30	0~17 15~29	0~17.5 15~29
(m) 最大押込み領域	アーチ 側壁 川側 ∞	7	3	7	7	8	8
	山側 ∞	3	3	13	13	7	7
	側壁 山側 ∞	15	3	15	15	7	7

5. 同壁岩盤の補強

山側の側壁に川側では、解析で得た押込み領域をあわむに包括する円弧を想定し、ここの円弧と側壁の間の岩盤が円弧に沿って滑る△を防止する△に必要なPSA量を求めた。川側の側壁に川側では主要変圧器室の掘削に伴う押込み領域△増大が予想された△で、側壁岩盤すべり面を 60° と想定した。図-4は仮想すべり面とPCA基本配置図を示したものである。

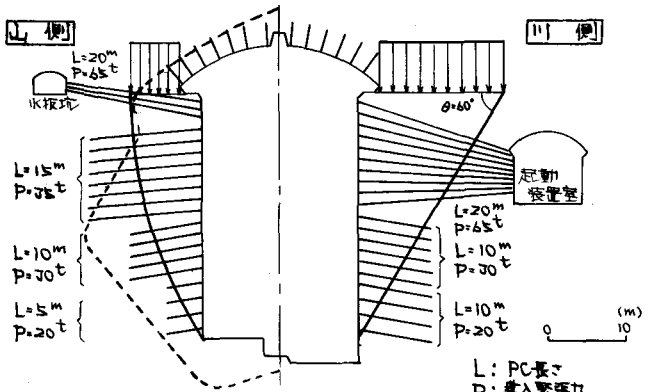


図-4 仮想すべり面とPCA配置図

6. 計測

掘削に際しては、施工事A 安全管理を中心とした目的とし、図-5のような計器を配置した。測定結果を示す図中の計算値は丁度である。

図-6は発電所上流側A断面アーチ岩盤沈下量の経時的変化である。アーチA施工は4.8mブロックごとに抜掘、巻立を行ない、1ブロック10日サイクルで施工されたが、計算基盤ブロックの掘削時に大きく沈下し、アーチ掘削完了に伴い沈下も収められた。岩盤深部に対するアーチ前面からの以内の浅い範囲で大部分が変位しませり、この点が計算値と異なっている。

本体掘削は1リットル2.5mペニチカット方式である。PC工は掘削後約10日後に完了させた。図-7は本体掘削完了時の測定スパン15mの相対水平変位である。この図の計算値は測定開始時を0点とし、測定値と対応させた。E断面EL386の測定値を除けば各点とも計算値とよく一致している。なお、経時的には本体掘削完了後2ヶ月後になり他の箇所でも変位が収められた。

図-8は本体掘削開始時を0とした掘削完了時のA断面アーチコンクリートへの応力である。鉄管路側下縁アーチ部大さな応力が生じた以外は20%~80%弱の範囲にあり、計算値の10~60% $\sigma_{c'u}$ とほぼ対応している。計算値の応力分布が主応力のたたかきよりドラフト側が大きくなっているに対し、測定値はほぼ対称となっている。

7. おわりに

奥多摩地下発電所周辺岩盤の挙動に関する計算と実測について報告した。今後地下空間の合理的、経済的设计を行なうために、安全性と対比しつつ定量的にそのを把握することが必要である。そのためには物性の変化様式も含め、精度よく地山の状況を把握することが大切と思われる。

最後に、数値解析について電研の協力を得たことに感謝する。

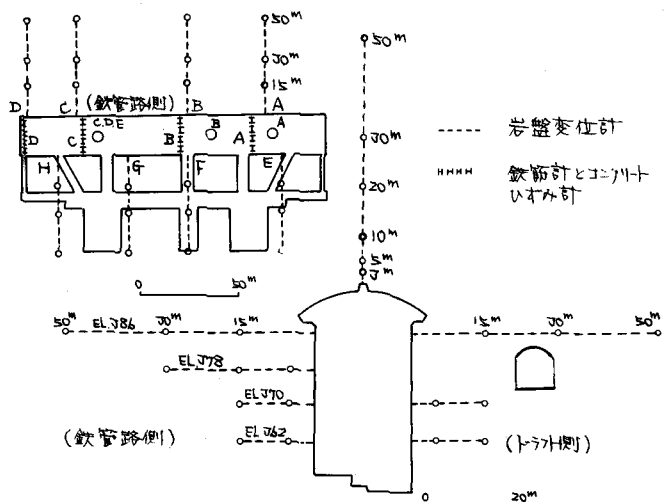


図-5 発電所測定計器配置図

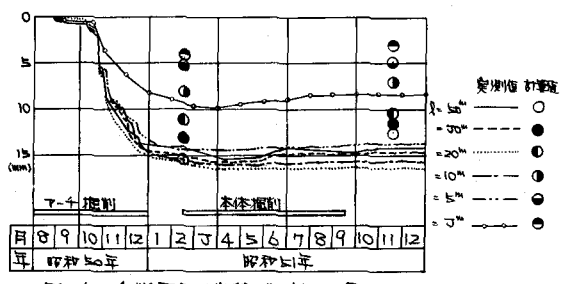


図-6 A断面アーチ岩盤の相対沈下量

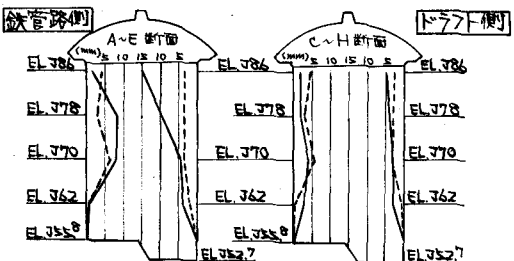


図-7 側壁巻盤水平変位($l=15m$)

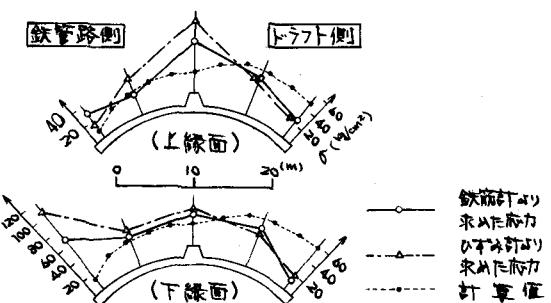


図-8 掘削完了時 A断面
アーチコンクリートの応力

Design and measurement of Okuyoshino
underground power station

Kansai Electric Power Co., Inc., M. Yamashita

Okuyoshino power station is a pure pumped-strage one comprising six generating units, which is operated under a effective head 505m and has ultimately total installed capacity of 1206MW. The machine hall is an excavated cavity 20.1m wide, 41.6m high and 157.8m long and is located about 180m below the ground surface.

Geological surveys, rock tests and measurements were performed at the site. Then, the behavior of rock mass and the stress in the concrete lining were computed. A number of instruments were installed in the rock and concrete lining to ascertain the stress of rock obtained by the above method.

The results were as follows:

- (1) The rock at the machine hall site was composed of chales, sand stones and the alternation of sand stones and chales.
- (2) The values of the deformation modulus were $43 - 151 \times 10^3 \text{kg/cm}^2$.
- (3) The values of the shear strength were $8 - 19 \text{kg/cm}^2$.
- (4) The values of the initial rock stresses were $x_0 = -77 \text{kg/cm}^2$, $y_0 = -74 \text{kg/cm}^2$ and $z_0 = -63 \text{kg/cm}^2$.
- (5) Computed settlements of arch rock were about 15mm.
- (6) Computed deformations of the side wall were 1 - 15mm.
- (7) Computed stesses in the arch roof concrete lining were $10 - 60 \text{kg/cm}^2$.
- (8) As the result of measurements, settlements of the arch rock were 14 - 16mm, deformations of the side wall rock were 1 - 15mm and stresses in the arch roof concrete lining were $20 - 80 \text{kg/cm}^2$.